

## 論文

UDC 669.18.046.58 : 541.123.81

## 部分炭酸化による生石灰の吸湿抑制について\*

木村 重廣\*\*・古屋 光雄\*\*\*・片山 裕之\*\*

梶岡 博幸\*\*\*\*・田中 新\*\*\*\*\*

## Prevention of Hydration of Lime by Partial Carbonation

Shigehiro KIMURA, Mitsuo FURUYA, Hiroyuki KATAYAMA,  
Hiroyuki KAJIOKA, and Arata TANAKA

## Synopsis:

As a means of preventing hydration of lime, a partial carbonation method is tried and the condition for the carbonation and properties of carbonated lime are investigated.

(1) The course of carbonation is expressed by  $\Delta W_{CO_2} = kt^n$  ( $\Delta W_{CO_2}$ : weight increase by carbonation,  $t$ : time,  $k, n$ : constants depending on temperature,  $CO_2\%$  in atmosphere and so on). Beyond a value of  $W_{CO_2}$ , which depends on temperature, the rate of weight increase becomes small abruptly. In order to prevent the hydration effectively, lime at the end of  $CO_2$ -treatment must reach this state.

(2) The degree of hydration of lime treated in an adequate condition ( $\Delta W_{CO_2}$ : 5—7%) is 1/10 to 1/20 of that of ordinary lime.

(3) Hydrogen content in molten steel does not increase during fluxing of  $CO_2$ -treated lime. In an arc furnace, however, in which hydrogen is apt to be absorbed from atmosphere, it is desirable to control the arc atmosphere as well as to use  $CO_2$ -treated lime.

## 1. 緒言

製鋼用造漬剤としては、一般に石灰石( $CaCO_3$ )を焼成して得られる生石灰( $CaO$ )が用いられている。生石灰は石灰石に比べると、溶鋼へ添加した時の吸熱が小さく、また、 $CO_2$ ガス発生によるトラブルも少ないという特徴があるが、水分を吸収しやすいので、運搬や貯蔵中に風化したり、溶鋼の水素含有量を高めるなどの欠点がある<sup>1)~10)</sup>。石灰の焼成度を高めることにより吸湿はやや抑制できるがその効果は小さく、一方、滓化性を悪化するなどの欠点を伴う<sup>11)</sup>。通常生石灰の吸湿抑制のために焼成から使用までの時間を短くする、輸送あるいは貯蔵時は密閉容器の中に入れる、必要に応じて使用直前に強制的加熱して乾燥するなどの対策がとられているが、特に高温多湿期には生石灰の吸湿に起因するトラブル<sup>12)</sup>(鋼材の水素性欠陥の多発など)が毎年のように繰返されている。

製鋼での水素対策としては一般に真空脱ガスが用いられているが、脱ガスを実施するには溶鋼温度を高くするなどの対策が必要であり、製鋼コストが高くなる。もし低水分石灰を用いることにより造漬時の水素ピックアップを防止できれば、脱ガスの省略あるいは簡略化が期待できる。

生石灰の吸湿を抑制する方法として、焼成直後の生石灰を炭酸ガスで処理して  $CaO$  の表面に  $CaCO_3$  の被膜を作らせることを考えた<sup>13)</sup>。これまで造漬用生石灰の炭酸化処理についての報告は見られないもので、極力低い炭酸化率で効率的に吸湿抑制できるような処理条件の検討および処理した石灰(以下  $CO_2$  处理石灰という)の使用試験を目的として以下の研究を行なつた。

## 2. 実験方法

Fig. 1 に基づく実験装置を示す。約 20 mm  $\phi$  の生石灰 1 個(重量約 5 g)を均熱部に装入し

\* 昭和 51 年 4 月日本会講演大会にて発表。昭和 52 年 5 月 30 日受付 (Received May 30, 1977)

\*\* 新日本製鐵(株)生産技術研究所 (Process Metallurgy Laboratories, Nippon Steel Corp. 1-1 Edamitsu Yawatahigashi-ku Kitakyushu 805)

\*\*\* 新日本製鐵(株)本社技術開発部 (Process Technology R & D, Nippon Steel Corp.)

\*\*\*\* 新日本製鐵(株)生産技術研究所 工博 (Process Metallurgy Laboratories, Nippon Steel Corp.)

\*\*\*\*\* 新日本製鐵(株)八幡製鐵所 (Yawata Works, Nippon Steel Corp.)

て  $N_2$  雾囲気中で一旦  $900^\circ C$  まで加熱して水分を除去した後、所定の反応温度 ( $300\sim700^\circ C$ ) にし、 $CO_2$  含有ガス ( $CO_2+N_2$ ) を供給しながら、重量変化を自動記録させる。温度は石灰粒近傍の雾囲気温度を  $0\sim13$  PR 熱電対で測定し、一定温度となるように自動制御した。各ヒートの反応途中の温度バラツキは  $\pm 3^\circ C$  以内である。 $(CO_2+N_2)$  混合ガス中の  $CO_2$  の割合は  $15\sim100\%$  の範囲に変化させ、全ガス流量は  $100, 200 cc/min$  の 2 段階に変えた。 $CO_2$  および  $N_2$  は純度がそれぞれ  $N_2 > 99.9\%$ ,  $CO_2 > 98\%$  のボンベガスを混合器および吸湿剤を通して炉に供給した。

生石灰処理量をふやした炭酸化処理試験は固定式反応炉（金網上の石灰層に下方から  $CO_2$  を供給する）および回転式反応炉（Fig. 2）を用いて行なつた。生石灰はロータリーキルン焼成後冷却途中のもの ( $800^\circ C$  以上)を取り出し、これを反応炉に移し、所定の温度まで冷却した後、純  $CO_2$  を供給した。処理条件を Table 1 に示す。温度は石灰層中に熱電対を挿入して測定した。外熱は行なつておらず、温度パターンは  $CO_2$  供給開始温度と供給速度によりコントロールした。一部の実験では、

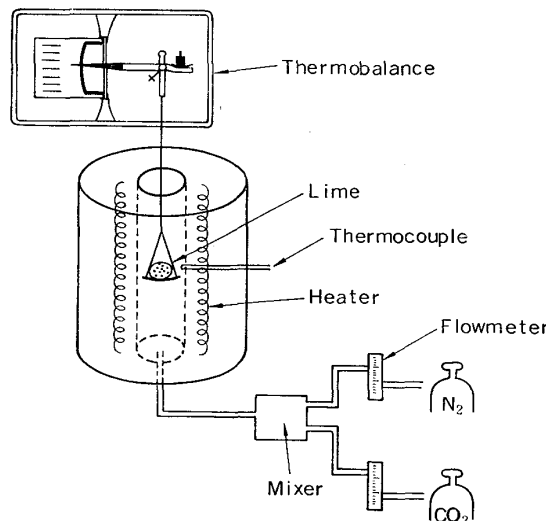


Fig. 1. Schematic drawing of experimental apparatus with thermobalance.

$CO_2-N_2$  混合ガスを用い、 $CO_2$  濃度を変化させた。

炭酸化の程度はマクロ的には、処理前、後の装入石灰の全量を秤量してその重量差から求め、次式によつて表わす。

$$\text{炭酸化度} : \Delta W_{CO_2} = \frac{\text{処理前後の重量差}}{\text{処理前重量}} \times 100 \quad (1)$$

（なお、 $CaO$  が全部  $CaCO_3$  に変化した時の  $\Delta W_{CO_2}$  は約 79% である）また、個々の石灰粒や、石灰粒の各部位における炭酸化の程度は、炭素量を化学分析してその値から逆算して求めた。

処理後の石灰の吸湿性は、試料を大気中に放置して所定の時間毎に秤量し、その重量増加から (2) 式により求めた。なお、吸湿量は雾囲気の水蒸気分圧にほぼ比例することがあらかじめ確認されていたので、(2) 式により  $P_{H_2O}=30 \text{ mmHg}$  (8月の水蒸気分圧) での値に換算した。

$$\text{吸湿度} : \Delta W_{H_2O} = \frac{\text{放置による重量増加量}}{\text{放置前の重量}} \times \frac{30}{\text{放置時の平均 } P_{H_2O}} \times 100 \quad (2)$$

吸湿性は主として、16 h 放置時の吸湿度で比較した。

### 3. 試験結果

#### 3.1 热天秤による基礎実験結果

各温度における生石灰粒と純  $CO_2$  ガスとの反応過程

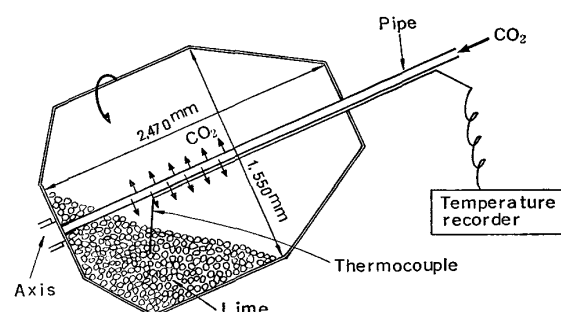


Fig. 2. Schematic drawing of rotary vessel (500 kg-CaO/ch).

Table 1. Experimental condition in fixed and rotary vessel.

	Lime (kg/ch)	Temp. at the start of $CO_2$ supply ( $^\circ C$ )	Rate of $CO_2$ supply ( $Nm^3/h$ )	Time (min)	r.p.m.
Fixed vessel	15	200~700	5~15	5~20	
	130	300~700	20~80	30~90	
Rotary vessel	70	400~550	8~15	15~30	0.6
	500	200~800	20~80	30~180	0.5, 1.0

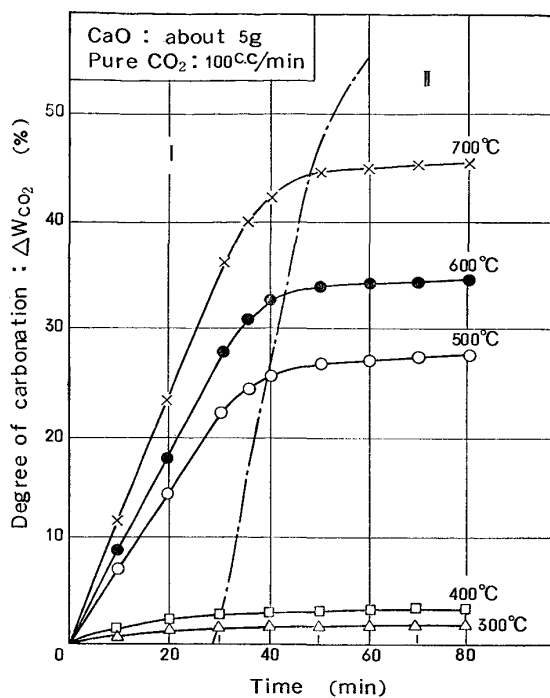


Fig. 3. Behaviour of carbonation of lime in thermobalance.

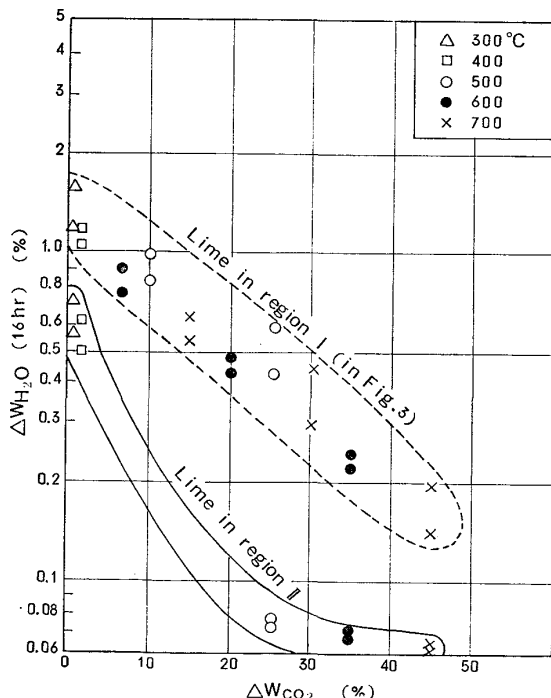


Fig. 4. Relationship between degree of carbonation and hydration of lime  $\text{CO}_2$ -treated in thermobalance.

を Fig. 3 に示す。500°C 以上の場合、最初急激に重量増加がおこり、温度によつてきまるある  $\Delta W_{\text{CO}_2}$  に達した後は、重量増加速度は急に小さくなる。前者を領域 I 後者を領域 II として、各領域の試料の吸湿性を調べた。その結果を Fig. 4 に示す。いずれの場合にも  $\Delta W_{\text{CO}_2}$  が大にな

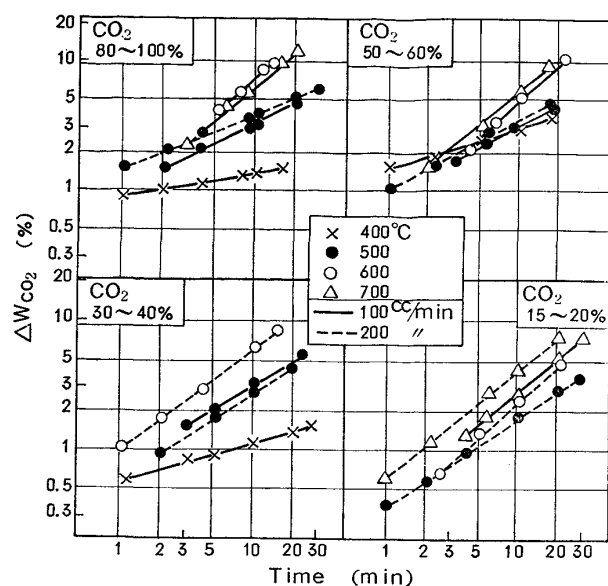


Fig. 5. Behaviour of carbonation of lime in experiment with thermobalance.

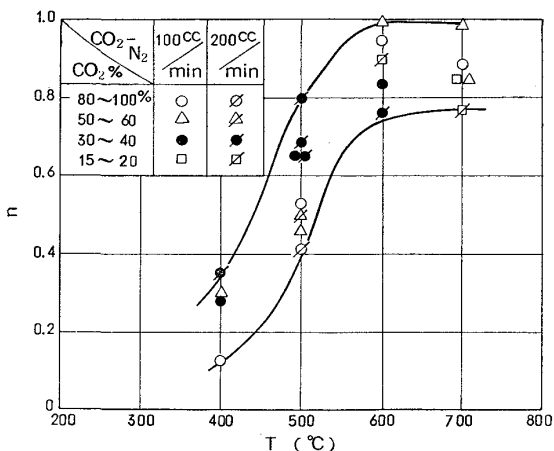


Fig. 6. Influence of temperature on constant  $n$  in eq. (3).

る程吸湿性は低下する傾向にあるが、領域 I のものは領域 II のものに比べて吸湿抑制効果が小さくバラツキもある。安定して吸湿を抑制するためには、反応を領域 II まで進めておくことが望ましいが、500°C 以上の等温反応では  $\Delta W_{\text{CO}_2}$  が 25% 以上になる。この場合、 $\text{CaCO}_3$  に変化した量が多くて実用的\* とは言いがたい。一方 400°C 以下の等温処理では、 $\Delta W_{\text{CO}_2}$  を 2% 以上とすることがむつかしく、領域 II に達しても吸湿を十分に抑制できない。したがつて、高温で処理して炭酸化をある程度進行させ、その後低温で仕上げ処理する方式が望ましいことが伺える。

$\Delta W_{\text{CO}_2} < 10\%$  の範囲について、温度、 $\text{CO}_2$  濃度、ガス流量などを変えて、炭酸化過程を熱天秤で調査した。

\*  $\Delta W_{\text{CO}_2}$  が 10% を越えると、電気炉や取鍋に石灰を添加する場合には、炎の発生が問題になる。

その結果を Fig. 5 に示す。400°C 以上ではいずれの場合にも

$$\Delta W_{\text{CO}_2} = kt^n \quad \dots \dots \dots \quad (3)$$

(ただし、 $t$ : 時間、 $k$ ,  $n$ : 条件によってきまる定数) によつて表わされる。

定数  $n$  におよぼす温度、 $\text{CO}_2$  濃度の影響を Fig. 6 に示す。 $n$  は主として温度によつてきまり、600°C 以上では  $\text{CO}_2$  濃度に関係なく 0.75~1.0, 400°C 以下では、0.4 以下となる。500°C では  $\text{CO}_2$ % により異なり、 $\text{CO}_2$ % が高い時の方が小さくなつてゐる。一方、 $k$  は  $\text{CO}_2$ % が高いほど大になるが、 $\text{CO}_2$  50% 以上では変化割合が小さい (Fig. 7)。なお、ガス流量の影響は明瞭ではないが、本実験条件では  $\text{CO}_2$  の利用効率が 5~20% と低く、ガス供給過剰の状況にあつたためと考えられる。

### 3.2 固定層および回転炉での試験結果

これらの試験では外部から加熱を行なつていないので

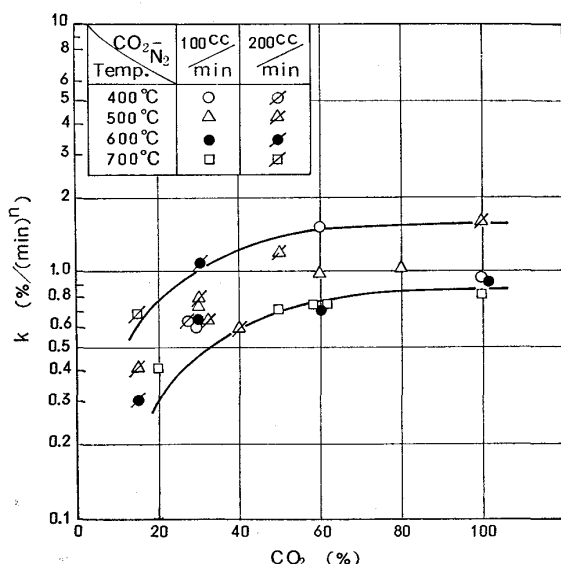


Fig. 7. Influence of  $\text{CO}_2$ % in  $\text{CO}_2\text{-N}_2$  gas on constant :  $k$  in eq. (3).

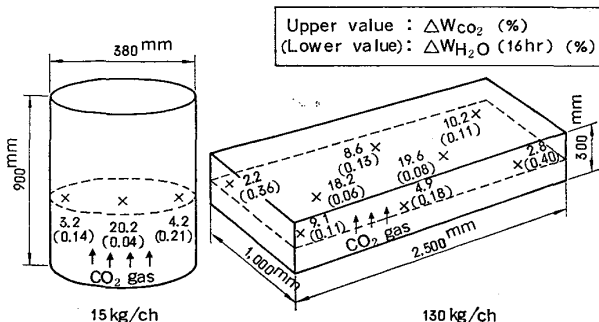


Fig. 8. Variation of degree of carbonation and hydration of lime  $\text{CO}_2$ -treated in fixed vessel.

で、炭酸化反応の進行と温度変化が相互に作用をおよぼし合いながら推移する。この点が前述の熱天秤実験の場合と異なる。

Fig. 8 は高温石灰層を固定しておいて、下方から  $\text{CO}_2$  を供給した場合の石灰層各部の  $\Delta W_{\text{CO}_2}$  と吸湿性を示す。中央部は周辺部に比べて  $\Delta W_{\text{CO}_2}$  が著しく高いが、これは  $\text{CO}_2$  が流れやすいので炭酸化反応により発熱し、その結果さらに反応しやすくなつたためである。このようすに発熱を伴う反応を固定層で行なわせることは、場所によるガス供給量の差が反応量には著しく拡大されてあらわれるので、不適当である。

石灰層を動かせながら反応させる方法の一つとして回転炉を用いた場合、0.5~1 回/min 程度の回転で温度は十分均一化し、各石灰粒の  $\Delta W_{\text{CO}_2}$  のバラツキも Fig. 9 に示すように、相対的には ±30% 以内になる。個々の石灰での  $\Delta W_{\text{CO}_2}$  のバラツキには原料である生石灰の性状も関連しているので、粒による反応条件の差はほとんどなかつたと考えられる。

回転炉において純  $\text{CO}_2$  ガスを供給した場合、 $\text{CO}_2$  供給量が多すぎると石灰層の温度は上昇し反応は“暴走”することになる。そこで、 $\text{CO}_2$  供給量をコントロールして Fig. 10 に示すような等温反応を行なわせた。なお、雰囲気の  $\text{CO}_2$ % は最初約 60% であるが、時間経過とともに徐々に高くなつてゐる。この場合、ある時間経過後、温度は徐々に低下しあはじめるが、これは炭酸化反応速度が小さくなつてきたことに対応する。ある温度まで  $\text{CO}_2$  供給を続けたのち、石灰を反応炉から取り出す。なお、 $\text{CO}_2$  供給開始温度を適当に選定することに

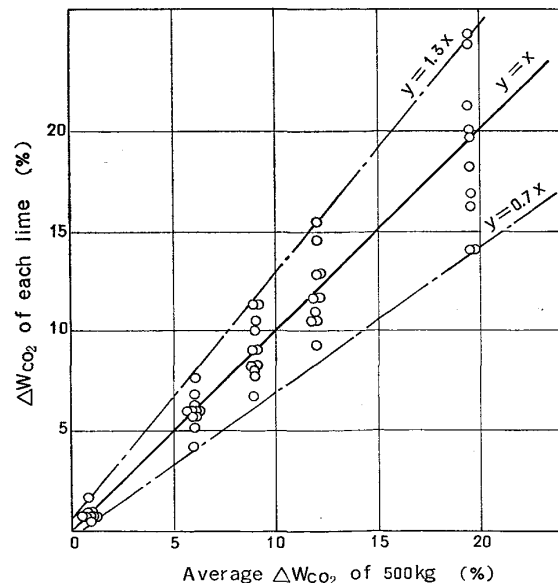


Fig. 9. Variation of degree of carbonation of each lime  $\text{CO}_2$ -treated in rotary vessel.

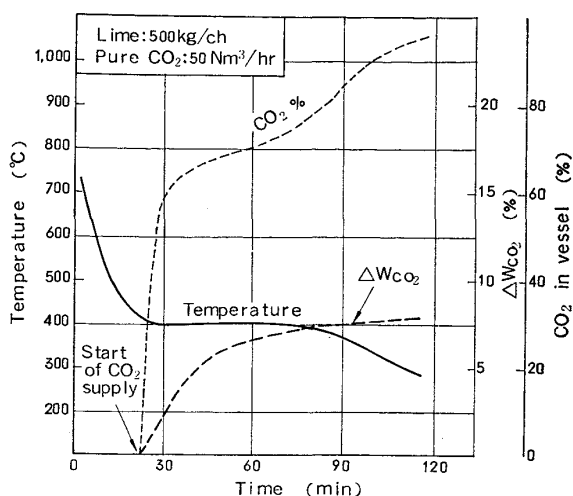


Fig. 10. Pattern of  $\text{CO}_2$  treatment in rotary vessel (500 Kg/ch.).

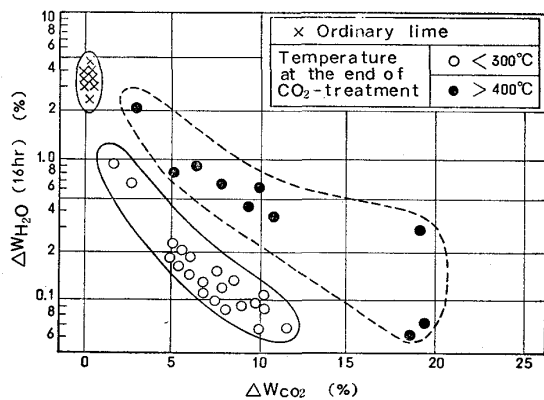


Fig. 11. Relationship between degree of carbonation and hydration of lime  $\text{CO}_2$ -treated in rotary vessel (500 kg/ch.).

より、最終的に得られる  $\Delta W_{\text{CO}_2}$  を任意に変えることができる。このような条件で処理された石灰の  $\Delta W_{\text{CO}_2}$  と吸湿性との関係はかなりバラツイているが、これを  $\text{CO}_2$  処理終了時の温度で層別すると、二つのグループにはつきりと分けられる (Fig. 11)。 $400^{\circ}\text{C}$  以上で処理を終了したものが、同一の  $\Delta W_{\text{CO}_2}$  でも吸湿温度が大でバラツキも大きい。

安定して吸湿抑制効果の大きい石灰を得るために処理終了上限温度を求めるために、処理途中で試料採取してその吸湿性を調べた。これによると、ロッド平均の  $\Delta W_{\text{CO}_2}$  が 6.8% の場合 (Fig. 12) 石灰層温度が  $370 \sim 330^{\circ}\text{C}$  の範囲で石灰の吸湿性が、急に変化していることがわかる。なお、 $330^{\circ}\text{C}$  以下ではいくら処理を続けても吸湿性はほとんど変化しない。同様の方法でロット平均  $\Delta W_{\text{CO}_2}$  を変化させて、吸湿性が急激に変化する温度を求めた (Fig. 13)。70 kg/チャージの場合には、同図中に実線で示した熱天秤実験における温度と領域 II での  $\Delta W_{\text{CO}_2}$

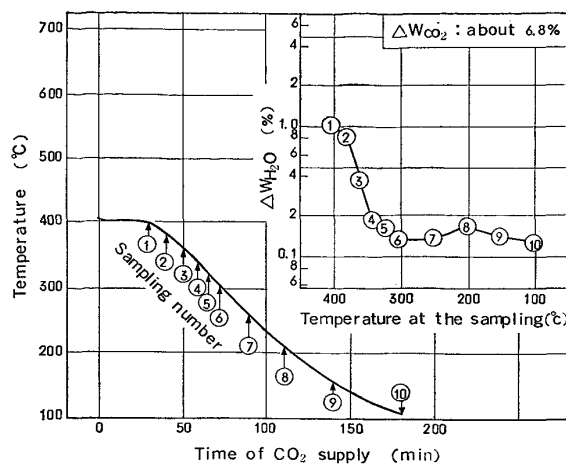


Fig. 12. Time of sampling and degree of hydration.

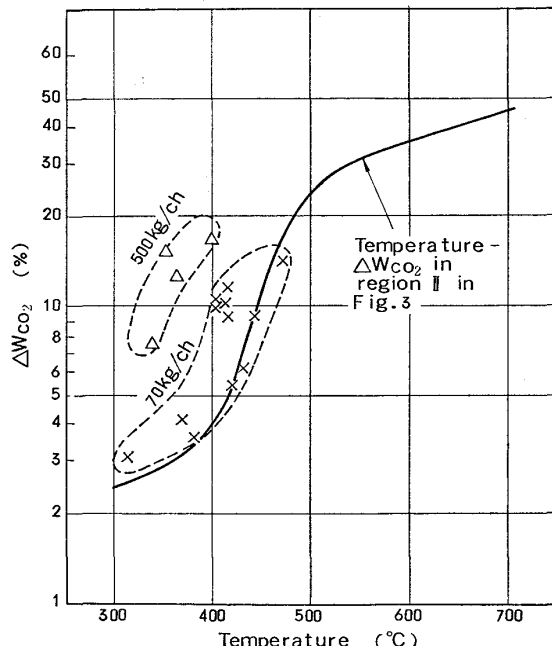


Fig. 13. Relationship between  $\Delta W_{\text{CO}_2}$  and necessary upper temperature at the end of  $\text{CO}_2$ -treatment for stable prevention of hydration.

の関係 (Fig. 3 に基づく) とほぼ一致している。500 kg/チャージの場合にも同様の傾向が認められるが、温度は約  $50^{\circ}\text{C}$  ずれている。これは処理規模により、測温値と石灰粒の内部温度の関係が異なることに起因するものであろう。安定して吸湿抑制効果の大きな石灰を製造するために、ある温度まで  $\text{CO}_2$  処理を継続しなければならないということは、個々の石灰粒については反応を Fig. 3 の領域 II に到達させることを意味しているといえる。

所定の温度以下まで  $\text{CO}_2$  処理を継続した石灰については  $\Delta W_{\text{CO}_2}$  が 5 ~ 7 % で、吸湿性は普通石灰の 1/10 ~

1/20 に低下している。しかし、Fig. 10 の温度パターンでは炭酸化処理に要する時間が長いという欠点がある。処理時間短縮の可能性をさぐるために、処理途中の石灰試料を採取して、炭酸化反応の進行過程を調べた (Fig. 14)。これによると反応が表層部から徐々に進行し、30 分までは中間部（表層から約 5 mm）はほとんど反応していない。これは、表層部の方が  $\text{CO}_2$  との反応によって発熱するので、ますます反応がおこりやすくなり、供給される  $\text{CO}_2$  の大半がこの部分で消費されてしまうためである。表層部の反応を抑制して早期に石灰粒内部への  $\text{CO}_2$  供給を行なわせるには、表層部を積極的に冷却することが考えられる。そのために供給ガスに  $\text{N}_2$  を混合して  $\text{CO}_2\%$  を下げ、700~800°C の高温石灰に作用

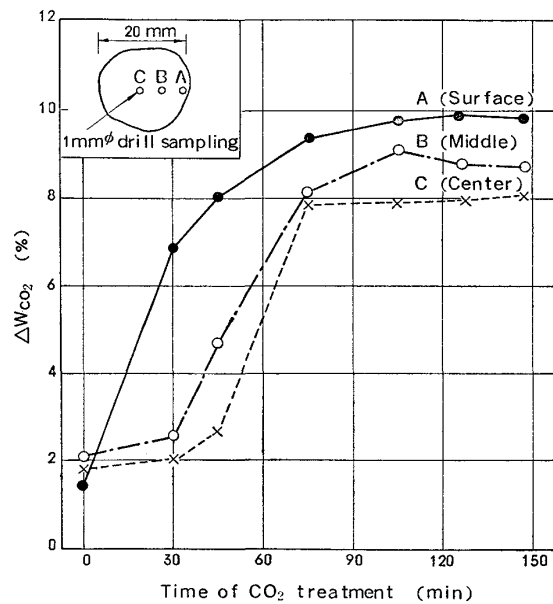


Fig. 14. Behaviour of carbonation in each position of lime.

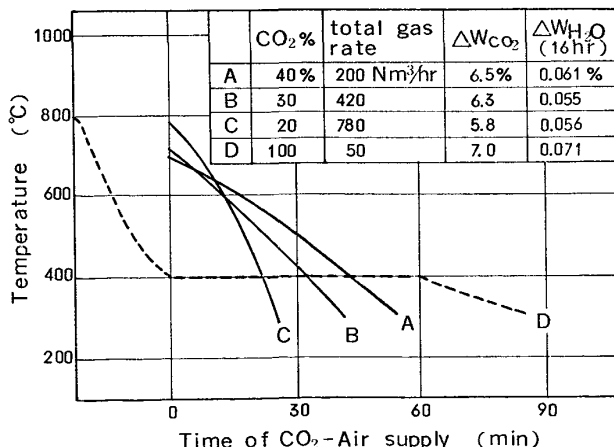


Fig. 15. Heat pattern and quality of  $\text{CO}_2$ -treated lime in rotary vessel (500 kg/ch) with gas of different  $\text{CO}_2\%$  and rate.

させ、連続冷却パターンで炭酸化処理を行なつた (Fig. 15)。混合ガス中の  $\text{CO}_2\%$ 、全ガス流量およびガス供給開始時の温度として適当な値を選ぶと、処理時間を短縮しても、等温反応を行わせたものと同程度に吸湿性の小さな石灰を得られることがわかる。

### 3.3 $\text{CO}_2$ 処理石灰の性状

処理後の石灰を大気中に放置した時の吸湿挙動をFig. 16 に示す。16~140 h の範囲にわたつて

$$\Delta W_{\text{H}_2\text{O}} = A \times t^B \quad \dots \dots \dots (4)$$

(ただし、 $t$  : 放置時間、 $A$ ,  $B$  : 定数)

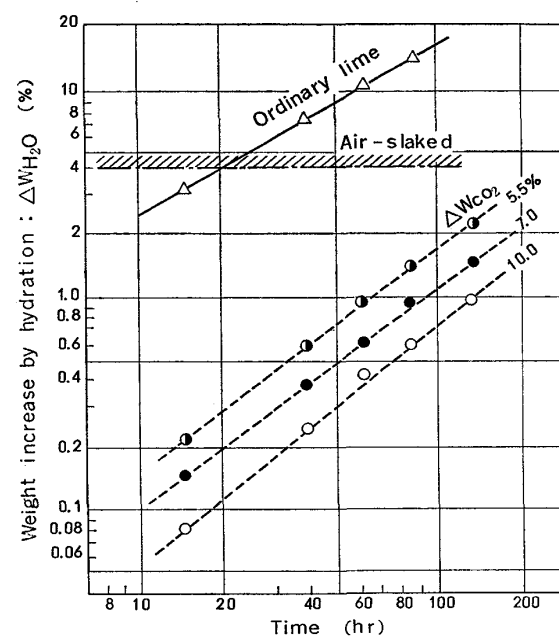


Fig. 16. Behaviour of hydration of ordinary and  $\text{CO}_2$ -treated lime.

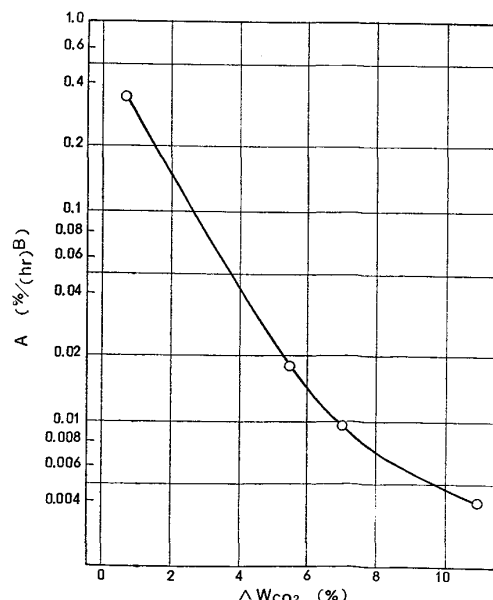


Fig. 17. Relationship between degree of carbonation and constant:  $A$  in eq. (4).

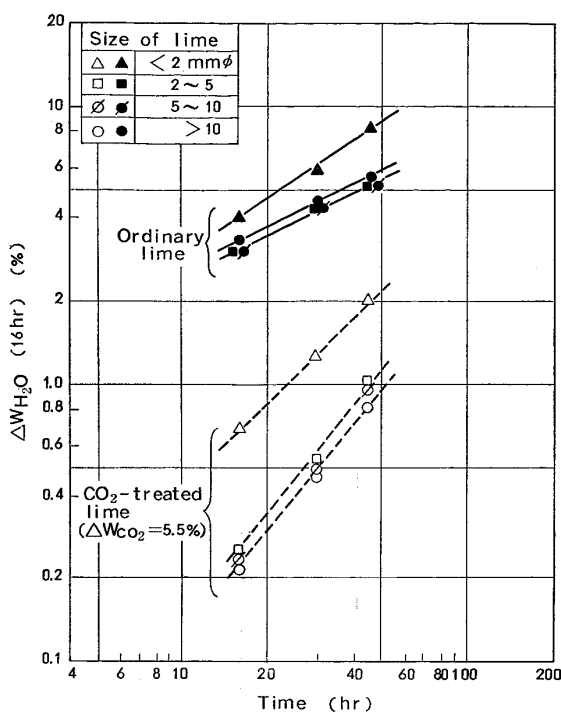


Fig. 18. Behavior of hydration of crushed lime.

の関係が成立している。定数  $A$  は Fig. 17 に示すように  $\Delta W_{CO_2}$  の増加とともに急激に小さくなっている。これは  $CaCO_3$  被膜が厚くなると、 $CaO$  面への  $H_2O$  の移動抵抗が大きくなることを示している。一方、定数  $B$  の値は普通石灰で約 0.78,  $CO_2$  处理石灰では約 1.0 である。 $B=1$  ということは放置時間により吸湿速度が変化しないことを意味し、 $CO_2$  处理石灰のように吸湿絶対量が低い場合 ( $\Delta W_{H_2O} < 1\%$ ) には当然である。一方、普通石灰では吸湿絶対量が大きいため、生成した  $Ca(OH)_2$  が以後の吸湿の進行に若干の抵抗となり、 $B$  が 1 よりやや小さくなつたのであろう。なお、吸湿による風化は  $\Delta W_{H_2O} \sim 4\%$  程度から顕著になる。したがつて、 $CO_2$  处理石灰では 140 h 放置してもほとんど風化は認められない。

吸湿抑制の作用をする  $CaCO_3$  被膜の状態およびその強度を推定するために、石灰試料 ( $\Delta W_{CO_2} = 5.5\%$ ) を破碎した後ふるい分け、各粒度別に吸湿挙動を調べた (Fig. 18)。それによると  $2 \text{ mm}\phi$  以上のものについては吸湿性は破碎によってほとんど変化しておらず、かなりの強度をもつ  $CaCO_3$  被膜が石灰粒のミクロ的な全表面に生成していることを伺わせる。 $2 \text{ mm}\phi$  以下のものでは破碎時に  $CaCO_3$  被膜のない新しい面が生成するためにやや吸湿しやすくなっているが、それでもなお塊状の普通石灰の数分の 1 である。したがつて、 $CO_2$  处理石灰は運搬の過程などで擦れたり割れたりする程度では吸

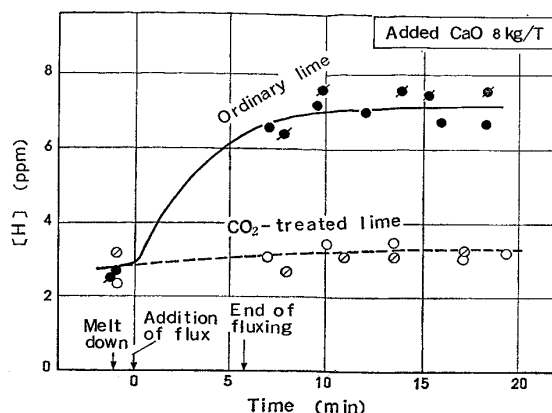
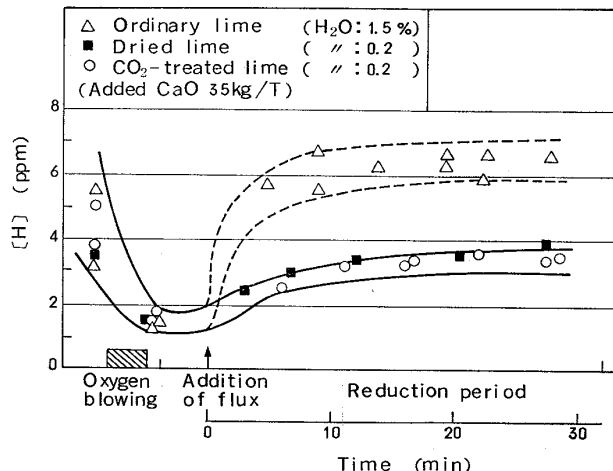
Fig. 19. Behaviour of hydrogen in molten steel after addition of flux ( $CaO$  40%– $SiO_2$  40%– $CaF_2$  20%) in high-frequency induction furnace (10 kg).

Fig. 20. Behaviour of hydrogen in molten steel during refining in electric arc furnace (1 t).

湿抑制効果はほとんど変化しない。

$CO_2$  处理石灰を実際に溶鋼に添加して、溶鋼中の水素の挙動を調べた。Fig. 19 は 15 kg 高周波誘導炉で溶解した炭素鋼に普通石灰を添加した場合と、 $CO_2$  处理石灰を添加した場合の結果を示す。普通石灰を用いた場合には、溶化終了までに溶鋼中水素が約 4 ppm 上昇しているのに対し、 $CO_2$  处理石灰を用いるとほとんど変化していない。 $CO_2$  处理石灰を用いると水分含有量が少ないとほかに、発生する  $CO_2$  によって水蒸気が効率的に系外に持ち出されることも関係していると考えられる。Fig. 20 は 1 t 電弧炉で同様の試験を行なった結果であるが、この場合には  $CO_2$  处理石灰（あるいは強乾燥石灰）を用いても、溶化および還元期に溶鋼水素が徐々に上昇し、30 min の還元精錬後には石灰添加前に比べて約 2 ppm アップしている。もちろん、普通石灰を用いた場合より水素レベルは低くなるが、低水分

石灰を用いた効果はかなり削減されることになる。この理由については電弧炉では雰囲気中の水蒸気がアーカー内で活性化され、溶鋼への水素供給源になりやすいことが考えられる。したがつて、電弧炉において、 $\text{CO}_2$  处理石灰を効率的に低水素鋼溶製に結びつけるには、雰囲気コントロール、特にアーカー部の  $P_{\text{H}_2\text{O}}$  を低下する対策を併用することが望ましい。

#### 4. 考 索

##### 4.1 生石灰の炭酸化反応機構について

石灰石は分解に際して多量の  $\text{CO}_2$  を発生するので、分解した瞬間の生石灰は著しく細かい結晶粒からなり、かさ比重も小さいが、そのまま高温に保つと、結晶粒は次第に成長する。したがつて、いわゆる“焼成度”によつてその特性値が変化する。本試験で用いた生石灰の特性値を焼成時間、温度を考慮して文献例<sup>11)</sup>より推定すると、空隙率：25~50%，比表面積：1 000~6 000  $\text{cm}^2/\text{g}$  になる。この値を用いて、生成する  $\text{CaCO}_3$  被膜の平均層さを計算すると、 $\Delta W_{\text{CO}_2} < 10\%$  では数 10~100 Å となる。

このような生石灰のミクロ組織を念頭において、炭酸化反応機構、特に  $\Delta W_{\text{CO}_2} = kt^n$  の関係が得られた理由を検討してみる。

高温の生石灰に  $\text{CO}_2$  含有ガスを作らせると、最初は供給される  $\text{CO}_2$  量に比べて反応可能サイトが圧倒的に多いので、反応はガス相中の  $\text{CO}_2$  供給律速で進行することはまちがいない。しかし、ミクロ的にみると、炭酸化は発熱反応であるから、反応をおこした場所が温度的にはさらに反応の進行に有利になり、ある被膜厚さになるとまでは選択的に反応が進行すると考えられる。Fig. 3 に示した熱天秤実験での領域 II の  $\Delta W_{\text{CO}_2}$ （すなわち、生成する平均被膜厚さ）が 500°C 以上と 400°C 以下で著しく異なる理由としては、500°C 以上では反

応による発熱が局所的に反応を促進したことが考えられる。このような選択的な反応のくりかえしで、順次、未反応表面が被覆され、反応サイトは表層部から内部へ移行する。

もし、石灰粒内ガス相中の  $\text{CO}_2$  移動が抵抗にならないとすれば、(3) 式において  $n$  は 1 に等しくなるはずである。Fig. 6 の結果によれば、600°C 以上では  $n = 0.7 \sim 1.0$  であり、粒内ガス相中の  $\text{CO}_2$  移動が若干抵抗になつてゐる可能性がある。石灰粒内の微細な空隙を通つての  $\text{CO}_2$  の移動は濃度勾配による拡散だけでは説明しがたいが、 $\text{CO}_2$  が反応で消費されることによつて生ずる圧力差にもとづく吸引が有効に作用していると考えられる。いずれにしても 600°C 以上、 $\Delta W_{\text{CO}_2} 10\%$  以下では反応の律速段階はガス相中の  $\text{CO}_2$  移動過程にあると見なされる。

温度が低くなると  $\text{CaO}$  単位表面積あたり生成する  $\text{CaCO}_3$  量が少なくなるので、早い時期に  $\text{CaO}$  面のうち  $\text{CaCO}_3$  被膜で覆われる部分が多くなる。したがつて 500°C 前後では  $\Delta W_{\text{CO}_2}$  が 1% 以上ではガス相中の  $\text{CO}_2$  移動と  $\text{CaCO}_3$  被膜中の物質動の混合律速になり、(3) 式の  $n$  が小さくなる (Fig. 6)。さらに 400°C 以下では Fig. 21 に示すように、 $\Delta W_{\text{CO}_2}$  が 1% 以下の領域において、 $\text{CaCO}_3$  被膜中の物質移動律速に移行する。なおこの領域の  $n$  は 0.4 以下であるが、最初から  $\text{CaCO}_3$  被膜中の  $\text{CO}_2$  拡散律速で進行してその  $\Delta W_{\text{CO}_2}$  の値 (Fig. 21 において 0.7%) が得られたと仮定して時間をずらせば (Fig. 21 において、 $t_1$  を  $t_2$  にずらせる)  $\text{CaCO}_3$  中の  $\text{CO}_2$  移動律速とみなされる領域は

$$\Delta W_{\text{CO}_2} = k'(t')^{1/2} \dots \dots \dots (5)$$

( $t'$  : 补正した時間  $t' = t + (t_2 - t_1)$ )

であらわせる。

Fig. 3 の領域 II はミクロ的な  $\text{CaO}$  粒の全表面が  $\text{CaCO}_3$  被膜で覆われ、粒全体について  $\text{CO}_2$  との反応が  $\text{CaCO}_3$  被膜中の物質移動律速になつた状態に対応する。この状態では  $\text{H}_2\text{O}$  との反応に対しても  $\text{CaCO}_3$  被膜中の  $\text{H}_2\text{O}$  の拡散律速であり、被膜がある厚さをもつておれば Fig. 17 に示したような十分な吸湿抑制効果が得られる。一方、領域 I で反応を中断した場合には  $\text{CaO}$  の自由表面が残つているため、そこが吸湿の活性点となるので吸湿防止効果が不十分で不安定になるのであらう (Fig. 11)。

##### 4.2 実工程での炭酸化処理条件について

焼成炉から出てくる高温の石灰は、通常、空気を吹きつけて冷却している。工業的規模で炭酸化処理を実施するには、この冷却工程を利用して  $\text{CO}_2$  含有ガスを

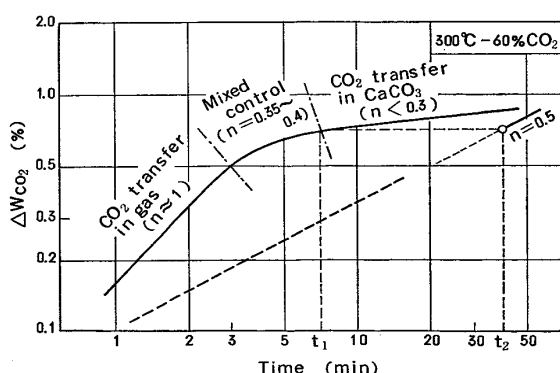


Fig. 21. Rate determining step of carbonation of lime (300 °C, 60%  $\text{CO}_2$ ).

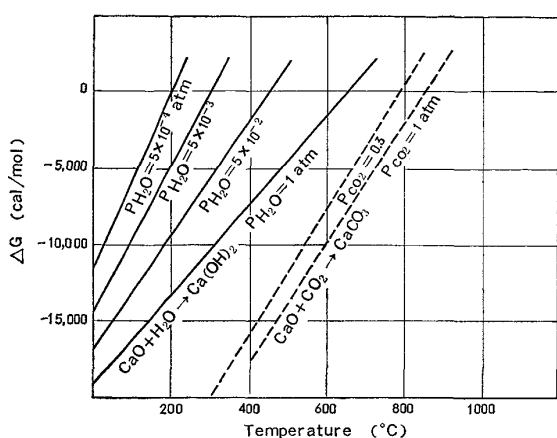


Fig. 22. Free energy of formation of  $\text{Ca}(\text{OH})_2$  and  $\text{CaCO}_3^{16)}$ .

作用させ、反応と冷却を同時に行なうことが合理的である。 $\text{CO}_2$  20~30%のガスを用いて炭酸化率  $\Delta W_{\text{CO}_2}$  : 5%以上を得るには、Fig. 5 より 600°C 以上で約 10 min 以上保たなければよいことがわかる。これと  $\text{CO}_2$  处理終りの石灰内部温度が約 300°C 以下にするという 2 条件を満足するように、冷却ラインの長さ、生産速度に応じて全ガス流量をコントロールすればよい。

なお、安価なガス源としては燃焼排ガス、特に石灰焼成炉の排ガス（組成の 1 例；  $\text{CO}_2$  : 30%,  $\text{H}_2\text{O}$  : 2.0%,  $\text{O}_2$  : 5.7%, 残り  $\text{N}_2$ ）が考えられる。ガス中の  $\text{H}_2\text{O}$  の影響については、Fig. 22 に示した  $\text{CaO}$  と  $\text{CO}_2$  および  $\text{H}_2\text{O}$  との反応における熱力学データによると、同一温度においては濃度 30% の  $\text{CO}_2$  の方が、濃度 100% の  $\text{H}_2\text{O}$  より  $\text{CaO}$  と反応しやすいこと、および  $P_{\text{H}_2\text{O}} = 5 \times 10^{-3} \text{ atm}$  (3.8 Torr) 以下では 300°C 以上で  $\text{H}_2\text{O}$  と  $\text{CaO}$  の反応はおこりえないことがわかる。したがつて、排ガスは特に乾燥を行なわずそのまま（乾燥を行なうとしても露点を  $-3^\circ\text{C}$  以下にする必要はない）利用することができる。

以上のように、生石灰冷却過程を改造すれば、経済的に大量の生石灰を処理して低水分化することが可能である。

#### 4.3 製鋼工程での $\text{CO}_2$ 处理石灰の使用効果

石灰  $\text{CO}_2$  处理の本来の目的は、造漬時の水素吸収を抑制することにある。これについては、Fig. 18 に示したように造漬時の石灰からの水素ピックアップを実質的にゼロにできることが確認された。しかし、低水素鋼を溶製するという目的からは、同時に、(i) 石灰添加前の溶鋼水素が低いこと、(ii) 石灰以外の添加剤の水分含有量も低いこと、(iii) 霧囲気からの吸湿を抑制することの 3 つの条件が満足されることが望ましい。(i) につい

ては、吹酸後の溶鋼は十分低水素化される<sup>14)</sup>ので、脱酸方法を考慮して出鋼時などの霧囲気からの吸湿を防止できるようにすればよい。(ii) については、湿った鉄鉱石などを投入しないようにする事が望ましい。(iii) については、特にアーケー加熱を行なう場合に霧囲気コントロールに注意する必要がある。これらの条件をどの程度完全に実施できるかにより得られる溶鋼の水素レベルは異なるが、 $\text{CO}_2$  处理石灰を用いると、水素レベルに対する要求が特に厳しいものを除けば、脱ガス処理をしなくても水素に対する要求を満足することができるであろう。また脱ガス処理と組合せると極低水素鋼の溶製も容易になる。

$\text{CO}_2$  处理石灰は、石灰石と生石灰の長所をあわせもつものであつて、吸湿抑制効果のほかに、(i) 粉塵発生を抑制できる。(ii) 淬化を促進するなどの効果がある。すなわち、 $\text{CO}_2$  处理石灰は吸湿による風化を抑制できるばかりでなく、 $\text{CaCO}_3$  は  $\text{CaO}$  よりもモース硬度で 1 ランク高いことから、機械的に強くなり粉化しにくい。鉄箱に入れてバイブレーターをかけた実験では粉化量は普通石灰の 1/4 以下になつている。したがつて、生石灰のハンドリング時の粉塵発生が少なくなる。また、 $\text{CO}_2$  处理石灰を溶融スラグ中に添加したところ、石灰粒は発生する  $\text{CO}_2$  ガスによって激しく動きまわり、また、割れることが観察された<sup>17)</sup>。これらは、淬化促進に有利に作用するはずである。

なお、 $\Delta W_{\text{CO}_2}$  が 10% 以下の  $\text{CO}_2$  处理石灰については、溶鋼へ添加時に、ガス発生や吸熱に起因する悪影響はほとんど認められなかつた。

#### 5. まとめ

生石灰の吸湿を抑制するために、 $\text{CO}_2$  含有ガスと反応させて部分的に炭酸化することを考え、吸湿抑制効果の大きい炭酸化処理条件、得られた石灰の性状および製鋼炉での使用効果について実験的に検討した。

(1) 高温生石灰粒に  $\text{CO}_2$  含有ガスを反応させると炭酸化反応が急速に進む第Ⅰ期と反応がほぼ飽和値に達し、反応速度が著しく小さくなる第Ⅱ期に分けられる。第Ⅰ期の反応は炭酸化度： $\Delta W_{\text{CO}_2} = kt^n$  ( $k, n$  は処理条件によつてきまる定数) であらわすことができる。第Ⅱ期においては炭酸化度の変化速度は急に小さくなる。吸湿しにくい石灰を製造するには適正な重量増加率にした後、反応を第Ⅱ期まで行なわせることが必要である。

(2) 生石灰の炭酸化処理は発熱反応を利用して加熱を行なわずに進行させることができが、均一に反応を進めるためには石灰層を混合することが不可欠である。

また(1)で述べた第Ⅱ期まで反応を行うために、ある温度( $400\sim300^{\circ}\text{C}$ )まで $\text{CO}_2$ 含有雰囲気下で反応を継続することが重要である。適正条件下で処理すれば、重量増加率5~7%で、吸湿量を普通石灰の1/10~1/20に低下することができる。

(3) 必要処理時間は $\text{CO}_2$ 含有ガスが石灰粒内部に供給される条件によつてきまり、時間短縮のためには高温( $\sim700^{\circ}\text{C}$ )の生石灰に低 $\text{CO}_2\%$ のガスを大量に作用させて連続冷却過程で行なうことが望ましい。工業的には燃成後の高温生石灰の冷却過程で、 $\text{CO}_2$ 含有排ガスを作用させればよい。

(4) 低水分石灰を溶鋼に添加すると、雰囲気からの水素供給がない条件では溶鋼水素はほとんど変化しない。ただし、電弧炉では通常の条件では雰囲気からの水素供給がおこりやすいので、低水分石灰の使用を効率に低水素鋼に結びつけるにはアーケーク雰囲気制御を併用することが望ましい。

### 文 献

- 1) 日本鋼管：製鋼部会資料。S. 45-38
- 2) H. EPSTEIN, et al.: J. Metals, 9 (1957), p. 597

- 3) K. G. SPEITH, et al.: Stahl u. Eisen, 82 (1962), p. 808
- 4) H. von ENDE, et al.: Stahl u. Eisen, 85 (1965), p. 117
- 5) M. WAHLSTER, et al.: Stahl u. Eisen, 89 (1969), p. 710
- 6) F. REINDERS, et al.: Stahl u. Eisen, 90 (1970), p. 1489
- 7) J. H. WALSH, et al.: J. Metals, 8 (1956), p. 1568
- 8) M. WAHLSTER: Berg. u. Hütten. Monat. 111 (1966), p. 553
- 9) H. von ENDE, et al.: Arch. Eisenhüttenw., 40 (1969), p. 27
- 10) E. PIPER, et al.: Stahl u. Eisen, 73 (1953), p. 817
- 11) 石膏石灰学会編：石膏石灰ハンドブック，S. 47 p. 134, p. 180 [技報堂]
- 12) 学振 19 委員会編：鉄鋼と合金元素(上)，S. 46 p. 399 [誠文堂新光社]
- 13) U. S. Patent 399978
- 14) 丸川雄淨, 山崎勲, 岡本節男: 鉄と鋼, 63 (1977), S 136
- 15) 梶岡博幸, 片山裕之, 稲富実: 鉄と鋼, 62 (1976), S 513
- 16) O. KUBASZEWSKI, E. L. EVANS and C. A. ALCOCK: Metallurgical Thermochemistry, 4th Ed. (1967) [Pergamon Press]
- 17) 梶岡博幸: 第42回西山記念講座(1976), p. 136